

## Interpretación de radiografías

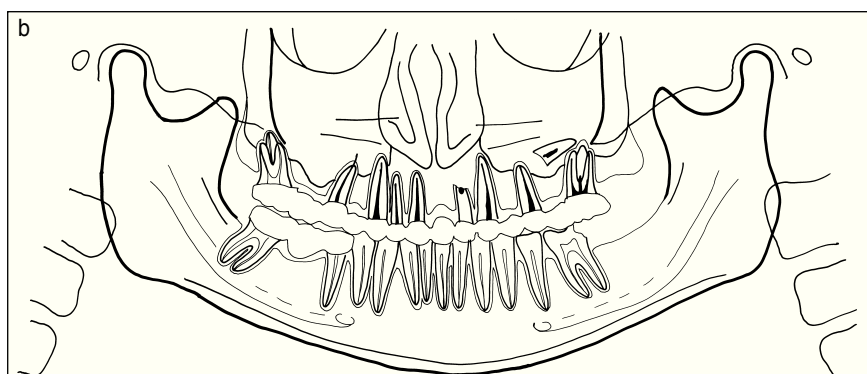
Jürgen Düker, Prof. Dr. med. Dr. med. dent.

(*Quintessenz*. 2006;57(11):1199-200)

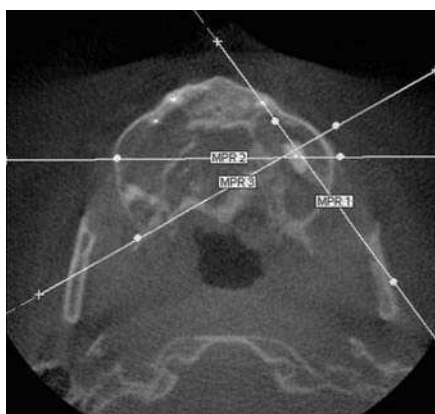
### Caso 605, mujer 31 años

#### *Resto radicular en el seno maxilar izquierdo*

La paciente acudió a la consulta para recibir tratamiento del diente 36. En la radiografía panorámica (figs. 1a y 1b) se halló casualmente un resto radicular en el seno maxilar izquierdo. La paciente desconocía la existencia de dicho resto y no había sido sometida a una extracción reciente. El resto radicular se había luxado probablemente al seno maxilar durante una extracción practicada hacía algunos años. Al ser interrogada, la paciente refirió haber consultado diversas veces a un otorrinolaringólogo por problemas en los senos maxilares. En la tomografía volumétrica digital (figs. 2 a 5), se aprecian signos de sinusitis crónica además del resto radicular.



*Figuras 1a y 1b.* Radiografía panorámica con un resto radicular de tamaño relativamente grande en el suelo del seno maxilar izquierdo. Se trata probablemente de la raíz palatina luxada del diente 26 extraído años atrás. Se detecta material de obturación radicular en el resto radicular. El alvéolo de la región 26 ha curado con osificación completa.



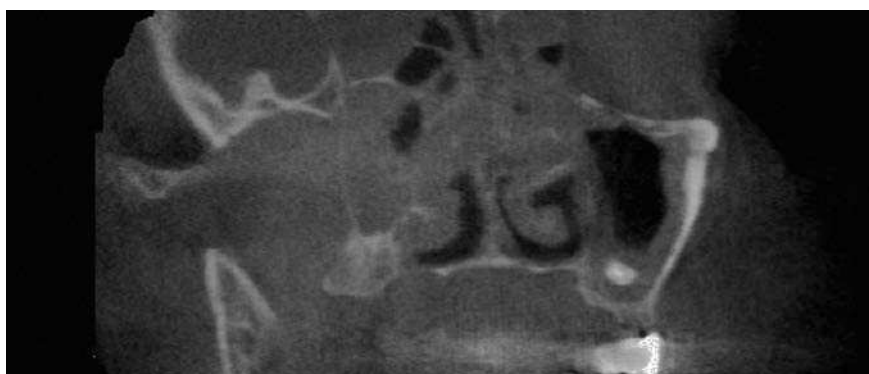
*Figura 2.* Reconstrucción axial de la tomografía volumétrica digital a la altura del seno maxilar izquierdo. Se puede reconocer el resto radicular con material de obturación en el proceso alveolar. Se marcan las direcciones de corte de las reconstrucciones multiplanares de las imágenes 3 (MPR 1), 4 (MPR 2) y 5 (MPR 3).



*Figura 3.* MPR 1 de la tomografía volumétrica digital. Además del resto radicular, se detecta una opacidad ancha en los bordes del seno maxilar como consecuencia de la sinusitis crónica.



*Figura 4.* MPR 2 de la tomografía volumétrica digital. En el corte transversal destacan las imágenes radioopacas en los bordes de ambos senos maxilares. En el proceso alveolar del seno maxilar izquierdo se ha captado la sección transversal del resto radicular con material de obturación.



*Figura 5.* MPR 3 de la tomografía volumétrica digital. Los hallazgos descritos en los otros planos de corte se confirman en la dirección de corte ortorradiol.